

นิพนธ์ต้นฉบับ

การวิเคราะห์ความหนาแน่นของเรือนยอดป่าไม้โดยใช้ข้อมูลภาพถ่ายจากดาวเทียม  
กรณีศึกษา จังหวัดเชียงใหม่

**Analysis of Forest Canopy Density Using Remotely Sensed Data:  
A Case Study in Chiang Mai Province**

เครือวัลย์ รังสีพานิช

ดำรงศักดิ์ ศรีพระราม

ปิยวัฒน์ ดิลกสัมพันธ์

ยงยุทธ ไตรสุรัตน์

Kruawan Rungsipanich

Damrong Sripraram

Piyawat Diloksumpun

Yongyut Trisurat

คณะวนศาสตร์ มหาวิทยาลัยเกษตรศาสตร์ จตุจักร กรุงเทพฯ 10900

Faculty of Forestry, Kasetsart University, Chatuchak, Bangkok 10900, Thailand

E-mail: kruawan\_54@hotmail.com

รับต้นฉบับ 2 เมษายน 2555

รับลงพิมพ์ 2 พฤษภาคม 2555

---

**ABSTRACT**

Forest canopy density provides important information indicating the health of the forest and biomass. This study aimed: 1) to use satellite images from LANDSAT-5 TM to analyze the forest canopy density; 2) to compare the forest canopy density derived from satellite images with field survey data using a fish-eye lens; and 3) to delineate the forest canopy density in Chiang Mai province. FCD Mapper was employed to estimate the forest canopy density and to calculate 4 indices: vegetation index, bare soil index, thermal index and shadow index. In addition, a linear regression equation was applied to determine the relationship between the forest canopy density derived from satellite images and from an image taken using a fish-eye lens. The results revealed that satellite images are effective for analyzing the forest canopy density. The forest canopy density estimates derived using the 2 methods were not significantly different at the 95% level and the co-relation coefficient was 0.81. The forest canopy density was divided into 10 percentage cover strata of 0-10, 11-20, 21-30, 31-40, 41-50, 51-60, 61-70, 71-80, 81-90, 91-100. Each stratum covered 18.35, 5.86, 9.96, 13.31, 15.06, 14.08, 11.39, 7.71, 3.82 and 0.46% of the Chiang Mai province, respectively.

**Keywords:** Forest canopy density, LANDSAT-5 TM, FCD Mapper, Chiang Mai province

## บทคัดย่อ

ความหนาแน่นเรือนยอดของป่าไม้ เป็นข้อมูลที่มีความสำคัญ บ่งบอกความอุดมสมบูรณ์ของป่าไม้และมวลชีวภาพ การศึกษาครั้งนี้มีวัตถุประสงค์ เพื่อใช้ข้อมูลภาพถ่ายจากดาวเทียม LANDSAT-5 TM ประเมินหาความหนาแน่นเรือนยอดของป่าไม้ เพื่อเปรียบเทียบความสัมพันธ์ระหว่างความหนาแน่นเรือนยอดของป่าไม้ ที่ได้จากการวิเคราะห์ข้อมูลภาพถ่ายดาวเทียมกับข้อมูลการสำรวจภาคสนามโดยใช้กล้องเล็งสตาปลา และเพื่อจัดทำแผนที่ความหนาแน่นเรือนยอดป่าไม้ในจังหวัดเชียงใหม่การวิเคราะห์ข้อมูลภาพถ่ายจากดาวเทียม ใช้โปรแกรม FCD Mapper เพื่อคำนวณค่าดัชนี 4 ตัว ได้แก่ ดัชนีความเป็นพืชพรรณ ดัชนีความเป็นดิน ดัชนีความร้อน และดัชนีความเป็นเงาไม้ และประเมินหาความหนาแน่นเรือนยอดของป่าไม้จากนั้นใช้สมการเส้นตรงหาความสัมพันธ์ระหว่างความหนาแน่นเรือนยอดของป่าไม้ ที่ได้จากภาพถ่ายดาวเทียมและกล้องเล็งสตาปลา ผลการศึกษาพบว่า ข้อมูลภาพถ่ายจากดาวเทียม สามารถประเมินหาความหนาแน่นเรือนยอดของป่าไม้ได้อย่างมีประสิทธิภาพ ความหนาแน่นเรือนยอดป่าไม้ที่ได้จาก 2 วิธีไม่ต่างกัน และมีความสัมพันธ์ทางสถิติ ที่ระดับความเชื่อมั่นร้อยละ 95 มีค่าสัมประสิทธิ์ความสัมพันธ์ (coefficient of determination:  $R^2$ ) เท่ากับ 0.81 และนำข้อมูลจากการวิเคราะห์เรือนยอดโดยภาพถ่ายจากดาวเทียมมาจัดทำแผนที่ความหนาแน่นเรือนยอดป่าไม้ แบ่งเป็น 10 ชั้น โดยแต่ละช่วงชั้นมีร้อยละของความหนาแน่น ดังนี้ 0-10, 11-20, 21-30, 31-40, 41-50, 51-60, 61-70, 71-80, 81-90 และ 91-100 ครอบคลุมพื้นที่ร้อยละ 18.35, 5.86, 9.96, 13.31, 15.06, 14.08, 11.39, 7.71, 3.82 และ 0.46 ของพื้นที่จังหวัดเชียงใหม่ ตามลำดับ

**คำสำคัญ:** ความหนาแน่นของเรือนยอดป่าไม้ ข้อมูลภาพถ่ายจากดาวเทียม LANDSAT-5 TM FCD Mapper จังหวัดเชียงใหม่

## คำนำ

ความหนาแน่นเรือนยอดของป่าไม้เป็นข้อมูลที่มีความสำคัญ บ่งบอกความอุดมสมบูรณ์ของป่าและปริมาณมวลชีวภาพ (Shimwell, 1971) แต่ข้อมูลดังกล่าวอาจไม่เป็นปัจจุบัน โดยทั่วไปในการจัดการป่าไม้ ข้อมูลความหนาแน่นเรือนยอดของป่าไม้จึงได้จากการสำรวจข้อมูลภาคสนาม โดยการวางแผนกลุ่มตัวอย่างสำรวจทรัพยากรป่าไม้ ซึ่งจำเป็นต้องใช้คน งบประมาณ และเวลาอย่างมาก จึงอาจจะไม่ทันต่อสถานการณ์ เพื่อใช้ในการตัดสินใจ

การนำวิทยาการด้านการสำรวจจากระยะไกลด้วยดาวเทียม มาใช้ในการสำรวจทรัพยากรป่าไม้เป็นการสำรวจวิธีหนึ่งที่ได้รับคามนิยชมอย่างแพร่หลายไปทั่วโลก เนื่องจากสามารถดำเนินการครอบคลุมพื้นที่ขนาดใหญ่ได้อย่างรวดเร็ว เป็นการประหยัดทั้งแรงงาน (คน) ค่าใช้จ่าย และเวลาในการดำเนินงาน อีกทั้งยังสามารถ

เลือกข้อมูลภาพถ่ายดาวเทียมตามเวลาที่ต้องการได้ตามวงโคจรของดาวเทียม

Rikimaru *et al.* (2002) ได้การพัฒนาโปรแกรมที่เรียกว่า FCD Mapper ซึ่งเป็นเทคนิคการประเมินความหนาแน่นของเรือนยอดป่าไม้แบบกึ่งผู้เชี่ยวชาญ (semi-expert system) โดยใช้ข้อมูลภาพถ่ายจากดาวเทียม ประเมินความหนาแน่นเรือนยอดของป่าไม้ (Forest Canopy Density: FCD) ที่ครอบคลุมพื้นที่ขนาดใหญ่ เพื่อใช้สำหรับติดตามการเปลี่ยนแปลงของสภาพป่าไม้อย่างต่อเนื่อง ประเมินความก้าวหน้าของกิจกรรมการปลูกป่า และความหนาแน่นเรือนยอดของป่าไม้สามารถใช้บ่งชี้ถึงความอุดมสมบูรณ์ของป่าไม้ และตรวจสอบความสัมพันธ์ของพื้นที่ป่าได้ทั้งนี้ได้มีการดำเนินการในพื้นที่หลายแห่ง เช่น Mt.Simpang and Mt.Tilu Nature Reserves, West Java, Indonesia, Australia และ Philippines เป็นต้น แต่ปัจจุบันการศึกษา

ดังกล่าวยังมีการดำเนินการน้อยในประเทศไทยโดยมีอนุสรณ์ (2545) ได้นำ FCD Mapper การประมาณค่าความหนาแน่นเรือนยอดของหมู่ไม้บริเวณป่าสาธิตวางอำเภอวัง จังหวัดลำปาง

จังหวัดเชียงใหม่ ตั้งอยู่ภาคเหนือของประเทศไทย มีป่าไม้หลายประเภท ประกอบด้วย ป่าดิบเขา ป่าดิบแล้ง ป่าเบญจพรรณ ป่าเต็งรัง เป็นต้น ผลการประเมินพื้นที่ป่าไม้ พ.ศ. 2551 จากข้อมูลภาพถ่ายจากดาวเทียม โดยกรมป่าไม้ พบว่ามีพื้นที่ป่า 16,609 ตารางกิโลเมตร คิดเป็นร้อยละ 82.61 ของพื้นที่จังหวัด ซึ่งเป็นปริมาณพื้นที่ป่าที่มากที่สุด ในภาคเหนือและจากการติดตามพื้นที่ป่าในจังหวัดเชียงใหม่ในระยะ 10 ปี พบว่าพื้นที่ป่าค่อนข้างคงที่ (กรมป่าไม้, 2551) แต่อย่างไรก็ตามพบว่าพื้นที่ป่าไม้เสื่อมโทรมลง ต้นไม้ใหญ่ถูกตัดโค่น และปลูกพืชแซมในพื้นที่ป่า ดังนั้น การศึกษาครั้งนี้ได้นำข้อมูลภาพถ่ายจากดาวเทียมมาผลิตเป็นแผนที่แสดงความหนาแน่นเรือนยอดของป่าไม้ของจังหวัดเชียงใหม่ โดยสามารถนำมาใช้ประโยชน์ตามที่ Rikimaru *et al.* (2002) กล่าวว่า สามารถใช้ในการติดตามการเปลี่ยนแปลงสภาพป่าเพื่อตรวจสอบความเสื่อมโทรมของป่าไม้และใช้เป็นแนวทางการหาพื้นที่ปลูกฟื้นฟูสภาพป่าต่อไป

## อุปกรณ์และวิธีการ

การศึกษาการใช้ข้อมูลภาพถ่ายจากดาวเทียมวิเคราะห์ความหนาแน่นเรือนยอดของป่าไม้ ในพื้นที่จังหวัดเชียงใหม่ มีขั้นตอนการดำเนินการ สรุปได้ดังนี้

### การประมวลผลข้อมูลภาพถ่ายจากดาวเทียมเบื้องต้น

1. การปรับแก้ความผิดพลาดทางเรขาคณิต (geometric correction) นำข้อมูลภาพถ่ายจากดาวเทียม LANDSAT-5 TM (path 131 row 47 บันทึกภาพเมื่อ 08 กุมภาพันธ์ พ.ศ. 2554) มาทำการปรับแก้ความผิดพลาดทางเรขาคณิตแบบแผนที่สู่ภาพ (map to image) โดยการกำหนดจุดควบคุมภาคพื้นดิน (ground

control point) ให้กับข้อมูลภาพถ่ายจากดาวเทียมจากแผนที่ภูมิประเทศของกรมแผนที่ทหาร มาตราส่วน 1: 50,000 จำนวน 16 จุด โดยอาศัยสมการการแปลงแบบโพลีโนเมียลลำดับที่ 2 เพื่อแปลงพิกัดอ้างอิงระบบ UTM (Universal Transverse Mercator) โซน 47 และปรับเปลี่ยนค่าระดับสีเทา (resampling) แบบ Nearest neighbor โดยกำหนดค่าความผิดพลาดโดยเฉลี่ย (root mean square error) ไม่เกินกว่า 1 จุดภาพ และกำหนดขนาดจุดภาพใหม่เท่ากับ 25x25 เมตร

2. ตัดภาพ (subset image) นำข้อมูลภาพถ่ายจากดาวเทียม ที่ปรับแก้ความผิดพลาดทางเรขาคณิตแล้ว (ขั้นตอนที่ 1.1)

### คำนวณหาความหนาแน่นเรือนยอดของป่าไม้ จากข้อมูลดาวเทียมโดยอาศัยโปรแกรม FCD Mapper เพื่อคำนวณค่าดัชนี ดังต่อไปนี้

1. คำนวณดัชนีความเป็นพืชพรรณ (Advanced Normalized Vegetation Index: ANVI) นำข้อมูลภาพถ่ายจากดาวเทียม LANDSAT-5 TM ช่วงคลื่นสีแดง (แบนด์ 3) และช่วงคลื่นอินฟราเรดใกล้ (แบนด์ 4) มาคำนวณหาค่าดัชนีความเป็นพืชพรรณ (Rouse *et al.*, 1973) การคำนวณหาค่าดัชนีความเป็นพืชพรรณของ ANVI เป็นการสังเคราะห์ร่วมกันของ NDVI และ AVI ดังสูตร

$$NDVI = \frac{[(NIR - R)]}{[(NIR + R)]}$$

$$NDVI = \sqrt[3]{NIR \times (256 - R) \times (NIR - R) + 1}, (0 < NIR - R)$$

เมื่อ NDVI = ดัชนีความเป็นพืชพรรณ

AVI = ดัชนีความเป็นพืชพรรณ

R = ข้อมูลภาพถ่ายจากดาวเทียมช่วงคลื่นสีแดง (แบนด์ 3: B3)

NIR = ข้อมูลภาพถ่ายจากดาวเทียมช่วงคลื่นอินฟราเรดใกล้ (แบนด์ 4: B4)

2. คำนวณดัชนีความเป็นดิน (Bare soil Index: BI) นำข้อมูลภาพถ่ายจากดาวเทียม LANDSAT-5 TM

ช่วงคลื่นสีน้ำเงิน (แบนด์ 1) ช่วงคลื่นสีแดง (แบนด์ 3)  
ช่วงคลื่นอินฟราเรดใกล้ (แบนด์ 4) และช่วงคลื่น

อินฟราเรดคลื่นสั้น (แบนด์ 5) มาคำนวณหาค่าดัชนีความ  
เป็นดิน (Rikimaru *et al.*, 2002) ดังสูตร

$$B = \frac{[(MIR + R) - (B + NIR)]}{[(MIR + R) + (B + NIR)]} 100 \times 100 \quad (0 < BI < 200)$$

หรือ 
$$B = \frac{[(B5 - B1) - (B1 + B4)]}{[(B5 + B3) + (B1 + B4)]} 100 \times 100 \quad (0 < BI < 200)$$

เมื่อ BI = ดัชนีความเป็นดิน  
B = ข้อมูลภาพถ่ายจากดาวเทียมช่วงคลื่นสีน้ำเงิน (แบนด์ 1: B1)  
R = ข้อมูลภาพถ่ายจากดาวเทียมช่วงคลื่นสีแดง (แบนด์ 3: B3)  
NIR = ข้อมูลภาพถ่ายจากดาวเทียมช่วงคลื่นอินฟราเรดใกล้ (แบนด์ 4: B4)  
MIR = ข้อมูลภาพถ่ายจากดาวเทียมช่วงคลื่นอินฟราเรดกลาง (แบนด์ 5: B5)

3. คำนวณดัชนีความร้อน (Thermal Index: TI) นำข้อมูลภาพถ่ายจากดาวเทียม LANDSAT-5 TM ช่วงคลื่นอินฟราเรดความร้อน (แบนด์ 6) มาปรับแก้ให้เป็นมาตรฐาน (Normalized) โดยอาศัย 2 ปัจจัย คือ ความชื้นของอุณหภูมิจนในบริเวณป่าไม้จากจุดซบพลังงานจากแสงอาทิตย์ของเรือนยอดและการระเหยของผิวใบ (Rikimaru *et al.*, 2002)

4. คำนวณดัชนีความเป็นเงาดินไม้ (Shadow Index: SI) นำข้อมูลภาพถ่ายจากดาวเทียม LANDSAT-5 TM ช่วงคลื่นสีน้ำเงิน (แบนด์ 1) ช่วงคลื่นสีเขียว (แบนด์ 2) และช่วงคลื่นสีแดง (แบนด์ 3) มาคำนวณหาค่าดัชนีความเป็นเงาดินไม้ (Rikimaru *et al.*, 2002) มาคำนวณหาค่าดัชนีความเป็นเงาดินไม้ ดังสูตร

$$SI = \sqrt[3]{(256 - B) \times (256 - G) \times (256 - R)}$$

หรือ 
$$SI = \sqrt[3]{(256 - B1) \times (256 - B2) \times (256 - B3)}$$

เมื่อ B = ข้อมูลภาพถ่ายจากดาวเทียมช่วงคลื่นสีน้ำเงิน (แบนด์ 1: B1)

G = ข้อมูลภาพถ่ายจากดาวเทียมช่วงคลื่นสีเขียว (แบนด์ 2: B2)

R = ข้อมูลภาพถ่ายจากดาวเทียมช่วงคลื่นสีแดง (แบนด์ 3: B3)

5. คำนวณความหนาแน่นของพืชพรรณ (Vegetation Density: VD) นำข้อมูลดัชนีพืชพรรณ และ

ดัชนีความเป็นดิน มาวิเคราะห์องค์ประกอบหลัก (Principal Component Analysis: PCA) จากนั้นกำหนดตำแหน่งที่มีค่าน้อยที่สุดที่ความหนาแน่นของพืชพรรณเท่ากับ ร้อยละ 0 และตำแหน่งที่มีค่ามากที่สุดที่ความหนาแน่นของพืชพรรณเท่ากับ ร้อยละ 100 แล้วปรับแก้ข้อมูลจากการวิเคราะห์องค์ประกอบหลักทั้งหมดด้วยเทคนิคสมการเส้นตรง (linear transformation) ให้สอดคล้องกับตำแหน่งที่กำหนดความหนาแน่นพืชพรรณเท่ากับ ร้อยละ 0 และร้อยละ 100 จะได้ข้อมูลความหนาแน่นของพืชพรรณทั้งหมด (Rikimaru, 1996)

6. คำนวณค่าดัชนีมาตรฐานความเป็นเงาดินไม้ (Scaled Shadow Index: SSI) นำข้อมูลดัชนีพืชพรรณ ดัชนีความเป็นดิน ดัชนีความเป็นเงาดินไม้ และดัชนีความร้อน มาจัดรวมเข้าด้วยกัน (stack) แล้วจำแนกโดยวิธี การจำแนกแบบกำกับดูแล (unsupervised classification) จากนั้นเลือกเฉพาะกลุ่มข้อมูลที่เป็นพืชพรรณ (อนุสรณ์, 2545) ดังสูตร

$$SSI = 0 \text{ เมื่อ } M - 2S$$

$$SSI = 100 \text{ เมื่อ } M + 2S$$

เมื่อ SSI = ค่าดัชนีมาตรฐานความเป็นเงาดินไม้

$$M = \text{ค่าเฉลี่ย}$$

$$S = \text{ส่วนเบี่ยงเบนมาตรฐาน}$$

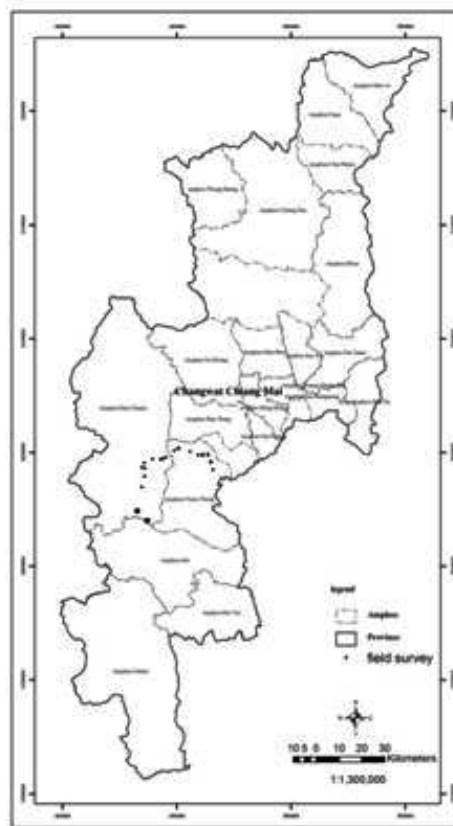
7. คำนวณความหนาแน่นเรือนยอดของป่าไม้ (Forest Canopy Density: FCD) นำข้อมูลความหนาแน่นของพืชพรรณ และข้อมูลดัชนีมาตรฐานความเป็นเงาต้นไม้ มาคำนวณหาความหนาแน่นเรือนยอดของป่าไม้ (Rikimaru *et al.*, 2002) ดังสูตร

$$FCD = \sqrt{VD \times SSI} - 1$$

เมื่อ FCD = ความหนาแน่นเรือนยอดของป่าไม้  
 VD = ความหนาแน่นของพืชพรรณ  
 SSI = ค่าดัชนีมาตรฐานความเป็นเงาต้นไม้

## เก็บข้อมูลความหนาแน่นเรือนยอดของป่าไม้ในภาคสนาม

1. วางแผนสุ่มตัวอย่าง ให้กระจายทุกกลุ่มความหนาแน่นเรือนยอดของป่าไม้แล้วกำหนดจำนวนตำแหน่งตรวจสอบภาคพื้นดินในแต่ละกลุ่มความหนาแน่นเรือนยอดของป่าไม้ ให้ครอบคลุมทุกชนิดป่าในพื้นที่จังหวัดเชียงใหม่ และให้กระจายทั่วพื้นที่ศึกษาโดยคำนึงถึงความสามารถในการเข้าถึงพื้นที่ได้อย่างปลอดภัย และตำแหน่งเก็บข้อมูลครั้งนี้มีจำนวน 175 จุดสำรวจ (Figure 1)



**Figure 1** Position of survey with the camera fish-eye lens.

2. การสำรวจความหนาแน่นเรือนยอดของป่าไม้ในเดือนกุมภาพันธ์ พ.ศ. 2554 โดยใช้กล้องถ่ายรูปเลนส์ตาปลา บันทึกภาพเรือนยอดของป่าไม้ ณ ตำแหน่งที่กำหนดเป็นจุดสำรวจ จำนวน 5 ภาพต่อ 1 จุดสำรวจ (กึ่งกลาง ทิศเหนือ ทิศใต้ ทิศตะวันออก และทิศตะวันตก

โดยห่างจากจุดกึ่งกลางระยะ 5 เมตร) เพื่อหาค่าเฉลี่ยความหนาแน่นเรือนยอดซึ่งคำนวณด้วยโปรแกรม HemiView และใช้เครื่องกำหนดตำแหน่งด้วยดาวเทียมอ่านค่าและบันทึกค่าพิกัดทางภูมิศาสตร์

3. สร้างสมการเส้นตรง (linear regression) ความสัมพันธ์ระหว่างผลการคำนวณความหนาแน่นเรือนยอดของป่าไม้โดยใช้ข้อมูลภาพถ่ายจากดาวเทียมกับผลการหาความหนาแน่นเรือนยอดจากภาพถ่ายด้วยกล้องเลนส์ตาปลา ด้วยวิธีทางสถิติ ณ ความเชื่อมั่นที่ระดับร้อยละ 95

### แผนที่ความหนาแน่นเรือนยอดของป่าไม้ของจังหวัดเชียงใหม่

1. นำเข้าข้อมูลขอบเขตจังหวัดเชียงใหม่ มาตราส่วน 1: 50,000 โดยการนำเข้าบนหน้าจอ (digitise on screen)
2. นำข้อมูลขอบเขตจังหวัดเชียงใหม่ มาซ้อนทับกับข้อมูลความหนาแน่นเรือนยอดของป่าไม้ที่ได้จากข้อ 2.7
3. จำแนกชั้นความหนาแน่นเรือนยอดของป่าไม้ออกเป็น 10 ชั้น ประกอบด้วย ร้อยละ 0-10, 11-20, 21-30, 31-40, 41-50, 51-60, 61-70, 71-80 และ 91-100 พร้อมทั้งคำนวณพื้นที่ของแต่ละชั้นความหนาแน่นเรือนยอดของป่าไม้ ในจังหวัดเชียงใหม่

## ผลและวิจารณ์

### ผลการคำนวณความหนาแน่นเรือนยอดของป่าไม้

จากการนำข้อมูลภาพถ่ายจากดาวเทียมสำรวจทรัพยากรธรรมชาติ LANDSAT-5 TM (path 131 row 47 บันทึกภาพเมื่อ 8 กุมภาพันธ์ พ.ศ. 2554) มาประมวลผลโดยโปรแกรมประมวลผลความหนาแน่นเรือนยอดของป่าไม้ FCD Mapper 1.15 ซึ่งขั้นตอนการดำเนินการสร้างแผนที่ความหนาแน่นเรือนยอดของป่าไม้ไม่สลับซับซ้อน และสามารถดำเนินการได้อย่างรวดเร็ว เนื่องจากเป็นโปรแกรมประมวลผลที่ได้รับการพัฒนาแบบ Semi-Expert System ในการประมวลผลมีขั้นตอนอย่างชัดเจน เพียงแต่ผู้ดำเนินการต้องศึกษา

โปรแกรมประยุกต์ และเข้าไปในพื้นฐานของการสำรวจระยะไกลจะสามารถดำเนินการได้อย่างมีประสิทธิภาพ ผลการคำนวณสามารถแสดงรายละเอียดดังต่อไปนี้

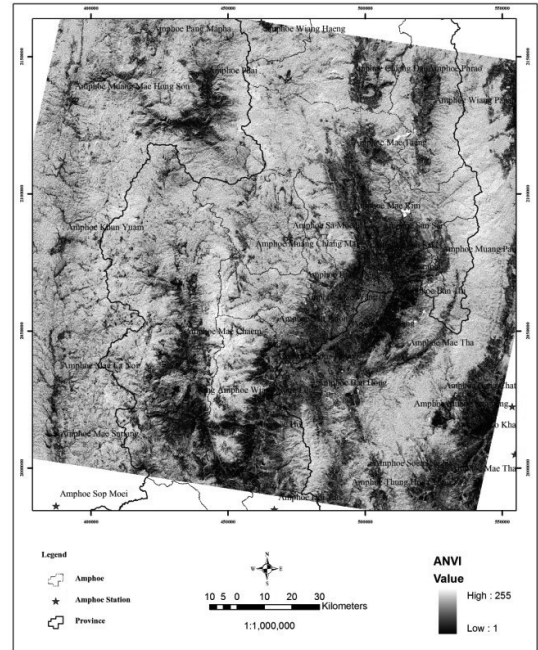
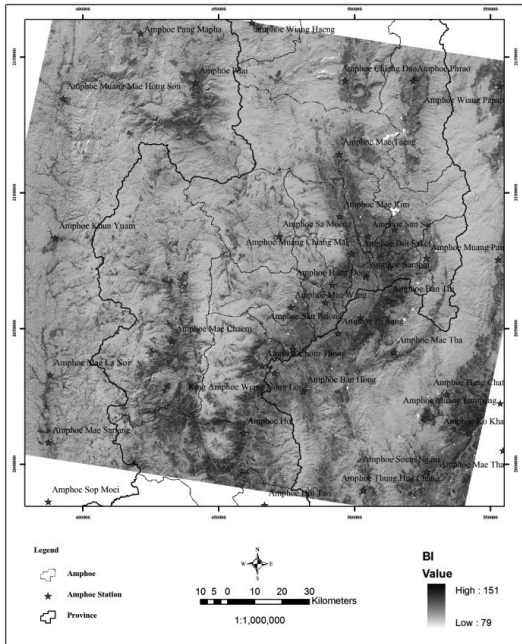


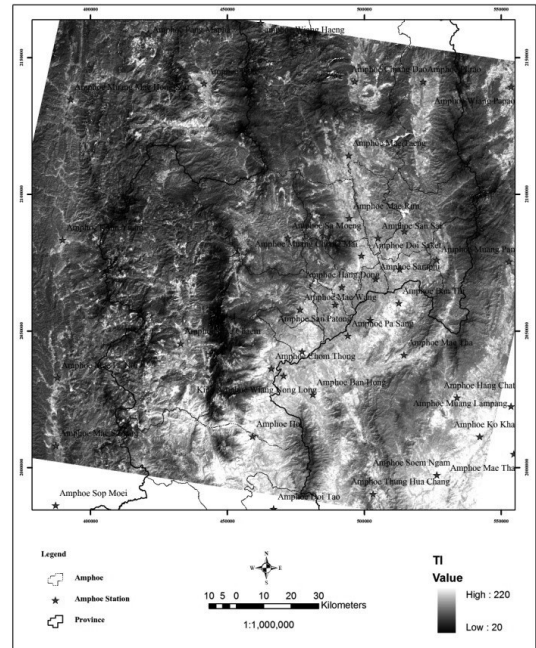
Figure 2 Advanced normalized vegetation Index map.

ค่าดัชนีพืชพรรณมีค่าระหว่าง 0 ถึง 255 โดยบริเวณที่มีค่าดัชนีพืชพรรณมาก (สีขาว) แสดงว่ามีกรปกคลุมของพืชพรรณมาก เนื่องจากมีสภาพเป็นป่าโดยเฉพาะบริเวณป่าดงดิบ แต่บริเวณที่มีปริมาณของพืชพรรณปกคลุมอยู่น้อย (สีดำ) ได้แก่ บริเวณป่าเต็งรังพื้นที่โล่ง พื้นที่เกษตรกรรมและบริเวณที่เป็นพื้นที่อยู่อาศัยโดยเฉพาะพื้นที่รอบทำการอำเภอ (Figure 2)



**Figure 3** Bare soil index map.

ค่าดัชนีความเป็นดินมีค่าระหว่าง 0 ถึง 255 โดยบริเวณที่มีค่าดัชนีความเป็นดินมาก (สีดำ) แสดงว่าเป็นที่โล่ง มีพืชพรรณปกคลุมอยู่น้อย ได้แก่ บริเวณที่อยู่อาศัย พื้นที่รอบที่ทำกรอำเภอ และบริเวณป่าเต็งรังเป็นช่วงฤดูแล้ง ต้นไม้ผลัดใบจึงมีการปลดตีความเป็นพื้นที่โล่ง และบริเวณที่มีค่าดัชนีความเป็นดินน้อย (สีขาว) แสดงว่าเป็นบริเวณที่มีพืชพรรณปกคลุมอยู่มาก โดยเฉพาะบริเวณป่าดงดิบบนยอดเขาที่มีความอุดมสมบูรณ์ (Figure 3)



**Figure 4** Thermal index map.

ค่าดัชนีความร้อนมีค่าระหว่าง 0 ถึง 255 โดยบริเวณที่มีค่าดัชนีความร้อนมาก (สีขาว) แสดงว่าเป็นที่โล่งมากมีพืชพรรณปกคลุมอยู่น้อย โดยเฉพาะบริเวณที่เป็นป่าเต็งรังผลัดใบ และบริเวณที่ไม่มีสภาพเป็นป่า เช่น ที่อยู่อาศัยโดยรอบที่ทำกรอำเภอ และบริเวณที่มีค่าดัชนีความร้อนน้อย (สีดำ) เนื่องจากมีสภาพเป็นป่าได้แก่ บริเวณป่าเบญจพรรณและป่าดงดิบ (Figure 4)

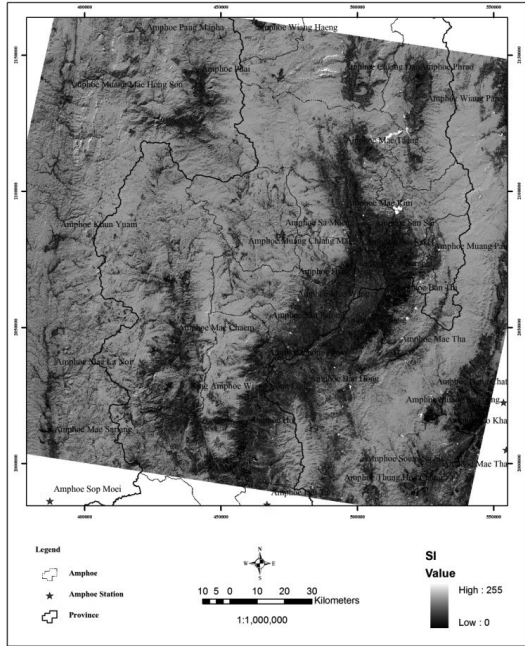


Figure 5 Shadow index map.

ค่าดัชนีความเป็นเงาของต้นไม้มีค่าระหว่าง 0 ถึง 255 โดยบริเวณที่มีค่าดัชนีความเป็นเงาของต้นไม้มาก (สีขาว) แสดงว่าเป็นที่มีต้นไม้ปกคลุมอยู่มาก เนื่องจากมีสภาพเป็นป่าโดยเฉพาะบริเวณเบญจพรรณและป่าดงดิบ และบริเวณที่มีค่าดัชนีความเป็นเงาของต้นไม้ น้อย (สีดำ) ได้แก่ บริเวณที่เป็นที่โล่ง บริเวณสนามหญ้า บริเวณพื้นที่เกษตรกรรม และบริเวณที่อยู่อาศัย (Figure 5)

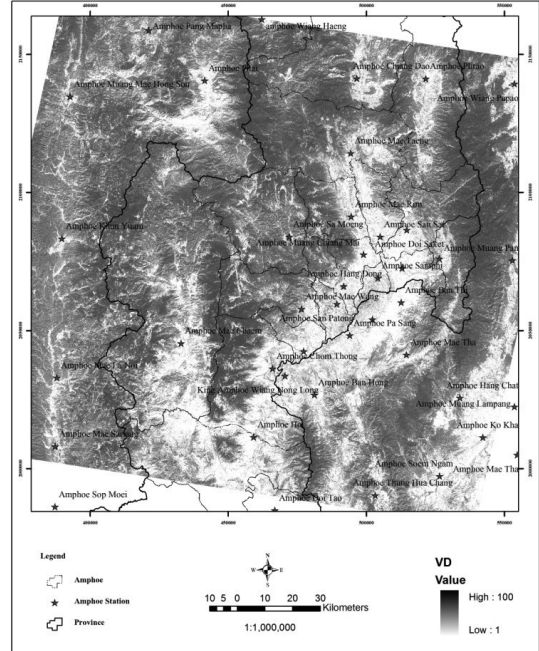
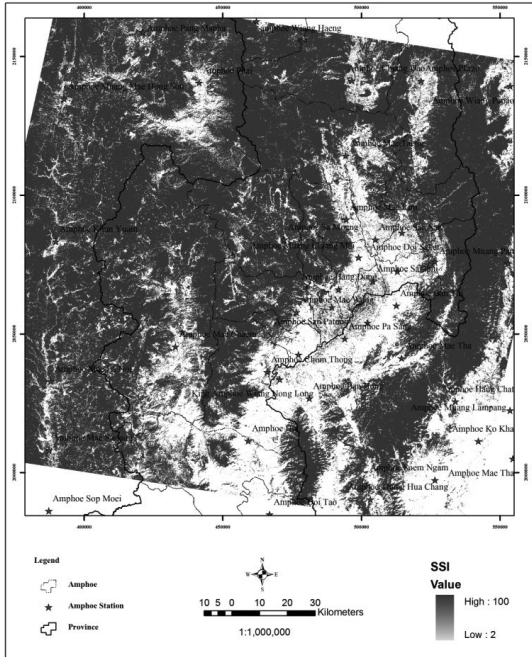


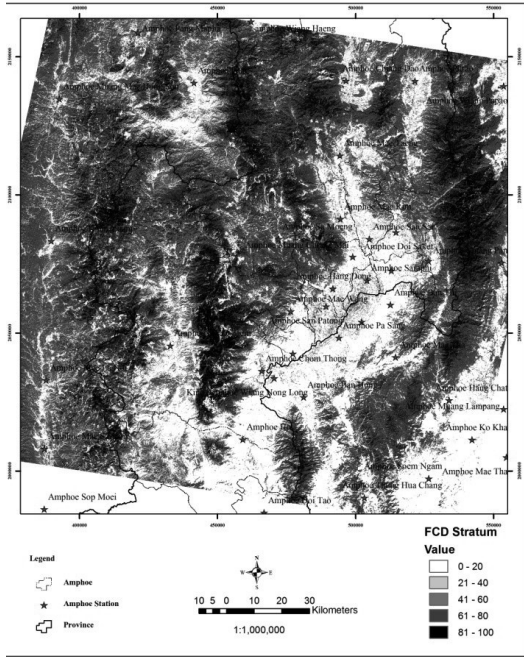
Figure 6 Vegetation density map.

ค่าความหนาแน่นของพืชพรรณมีค่าระหว่าง 0 ถึง 100 โดยบริเวณที่มีความหนาแน่นของพืชพรรณมาก (สีดำ) แสดงว่าเป็นที่มีพืชพรรณปกคลุมอยู่มาก และบริเวณที่มีความหนาแน่นของพืชพรรณน้อย (สีขาว) เนื่องจากเป็นบริเวณที่มีพืชพรรณปกคลุมอยู่น้อย ได้แก่ ที่อยู่อาศัยบริเวณรอบพื้นที่ทำการอำเภอและบริเวณป่าเต็งรังที่ผลัดใบในฤดูแล้ง (Figure 6)



**Figure 7** Scaled shadow index map.

ค่าดัชนีมาตรฐานความเป็นเงาไม่มีค่าระหว่าง 0 ถึง 100 โดยบริเวณที่มีค่าดัชนีมาตรฐานความเป็นเงาไม่มาก (สีดำ) แสดงว่าเป็นบริเวณที่มีสภาพเป็นป่าไม้ อย่างหนาแน่น และบริเวณที่มีค่าดัชนีมาตรฐานความเป็นเงาไม่น้อย (สีขาว) แสดงว่ามีสภาพความเป็นป่าไม้ น้อย หรือเป็นพื้นที่โล่ง เช่น บริเวณที่อยู่อาศัย พื้นที่ราบ ที่ทำการอำเภอ สนามหญ้า เป็นต้น (Figure 7)



**Figure 8** Forest canopy density map.

ค่าความหนาแน่นเรือนยอดป่าไม้ไม่มีค่าระหว่าง 0 ถึง 100 โดยมีการจัดกลุ่มความหนาแน่นเรือนยอดของป่าไม้ ออกเป็น 5 ชั้น คือ ร้อยละ 0-20, 21-40, 41-60, 61-80 และ 81-100 ค่าความหนาแน่นเรือนยอดป่าไม้ 81-100 (สีดำ) แสดงว่าเป็นบริเวณที่มีสภาพเป็นป่าไม้ อย่างหนาแน่น และบริเวณที่มีค่าความหนาแน่นเรือนยอดป่าไม้ 0-20 (สีขาว) แสดงว่ามีสภาพความเป็นป่าไม้ น้อย หรือเป็นพื้นที่โล่ง เช่น สนามหญ้า ที่อยู่อาศัย โดยรอบที่ทำการอำเภอ (Figure 8)

**สมการเส้นตรงแสดงความสัมพันธ์ระหว่างความหนาแน่นเรือนยอดของป่าไม้จากการคำนวณภาพถ่ายจากดาวเทียม กับภาพถ่ายด้วยกล้องเลนส์ตาปลา (สำรวจภาคสนาม)**

1. ข้อมูลจากการใช้กล้องถ่ายภาพเลนส์ตาปลาสำรวจภาคสนาม 175 จุด แล้วนำภาพถ่ายมาคำนวณ

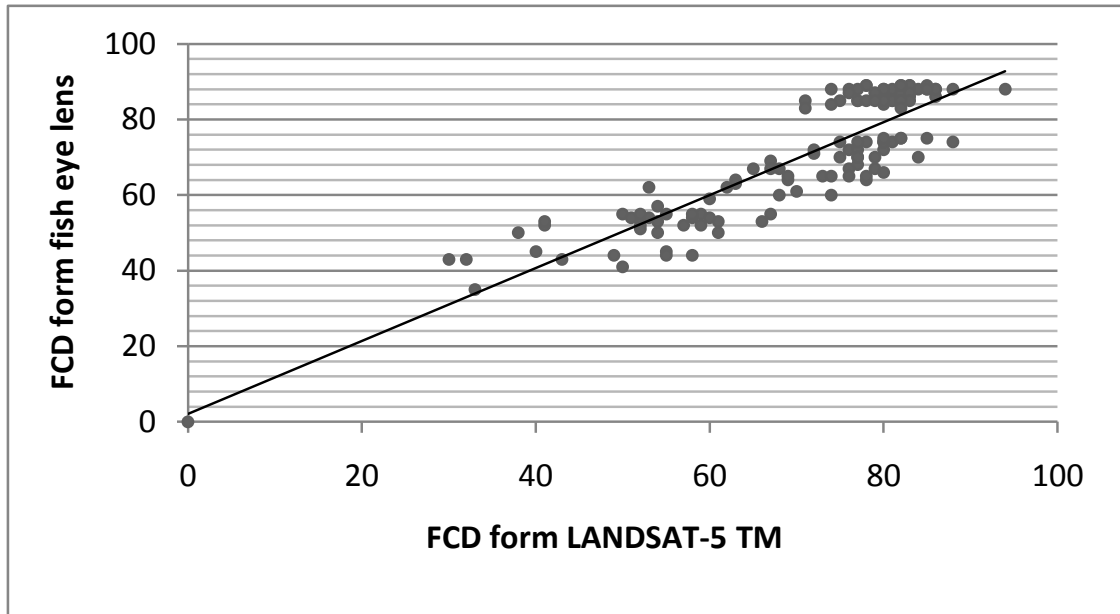
ค่าความหนาแน่นเรือนยอดโดยใช้โปรแกรม Hemi View และหาค่าเฉลี่ยร้อยละการปกคลุมเรือนยอดของแต่ละจุดสำรวจ ตัวอย่างเช่น จุดสำรวจ Chiangmai 1 ที่ค่าพิกัด 99.92E, 19.53N ที่ระดับความสูง 420 จากระดับน้ำทะเล ได้ค่าการปกคลุมเรือนยอดร้อยละ 40 (Table 1)

**Table 1** Forest canopy density (% Cover) captured by fish-eye lens analyzed with Hemi View. (8 out of 175)

Site Name	Long	Lat	Alt	% Cover
Chiangmai 1	99.92E	19.53N	420	40.0
Chiangmai 2	98.68E	18.47N	322	19.2
Chiangmai 3	98.67E	18.50N	405	52.1
Chiangmai 4	98.62E	18.53N	563	52.5
Chiangmai 5	98.58E	18.54N	46	53.7
Chiangmai 6	98.51E	18.55N	1343	43.6
Chiangmai 7	98.48E	18.52N	1544	44.8
Chiangmai 8	98.47E	18.51N	1452	55.7

2. ความหนาแน่นของเรือนยอดป่าไม้จากการคำนวณภาพถ่ายจากดาวเทียม กับผลการคำนวณจากภาพถ่ายด้วยกล้องเลนส์ตาปลา มีความสัมพันธ์อย่างมีนัยสำคัญทางสถิติ ที่ระดับความเชื่อมั่นร้อยละ 95 มีค่าสัมประสิทธิ์ตัวกำหนด ( $R^2$ ) คือ 0.81 และสมการเส้นตรง  $Y = 2.01 + 0.96X$  (Figure 9) ซึ่งใกล้เคียงกับงานวิจัยที่เกี่ยวข้องทั้ง Tiwari (2006) และ Azizia (2008) พบว่า เมื่อใช้ภาพถ่ายจากดาวเทียมตรวจสอบสภาพความหนาแน่นของป่าไม้ มีความถูกต้องประมาณ ร้อยละ 70 ซึ่งการศึกษารุ่นนี้ได้ค่า  $R^2 = 0.81$  แสดงว่า ความหนาแน่นเรือนยอดจากการใช้ภาพถ่ายจากดาวเทียมสามารถอธิบายถึงค่าความหนาแน่นเรือนยอดจากภาพถ่ายด้วยกล้องเลนส์ตาปลาได้ คิดเป็นร้อยละ 81 ที่เหลืออีกร้อยละ 19 อาจเกิดขึ้นจากหลายสาเหตุ เช่น เครื่องกำหนดตำแหน่งด้วยดาวเทียมซึ่งมีความคลาดเคลื่อนของระยะทาง ปัจจัยการสะท้อนของแสงโดยเฉพาะบริเวณป่าเต็ง

รังจากภาพดาวเทียมที่ถ่ายในช่วงฤดูแล้งจะมีการสะท้อนให้เห็นความเป็นที่โล่ง จึงมีการแปลตีความที่ผิดพลาดได้ ปัจจัยเรือนยอดของไม้ในป่าที่มีหลายชั้นเรือนยอด (เทอด, 2525) แต่ที่ได้จากการถ่ายภาพด้วยกล้องเลนส์ตาปลาซึ่งเป็นการถ่ายขึ้นไปข้างบนท้องฟ้าเป็นการประเมินการปกคลุมของเรือนยอดเพียงชั้นเดียว และมีฉากหลัง (ท้องฟ้า) ที่มีความแตกต่างอย่างชัดเจนกับเรือนยอดต้นไม้ นอกจากนี้ ความคลาดเคลื่อนหรือผิดพลาดอาจเกิดขึ้นได้หลายขั้นตอน เช่น ตำแหน่งของกล้องถ่ายรูปเกิดจากการตั้งระดับทั้งแนวตั้งและแนวนอนระดับความสูงจากพื้นดินที่ไม่เท่ากัน ความคลาดเคลื่อนจากการเปิดหน้ากล้องซึ่งเกิดแสงสะท้อนความคลาดเคลื่อนจากคุณภาพของรูปภาพความละเอียดของภาพและการเก็บข้อมูลในรูปดิจิทัลความคลาดเคลื่อนจากการตั้งพิกัดเป็นต้น (Rich, 1989)



**Figure 9** Relationship between forest canopy density form using satellite images and fish-eye lens.

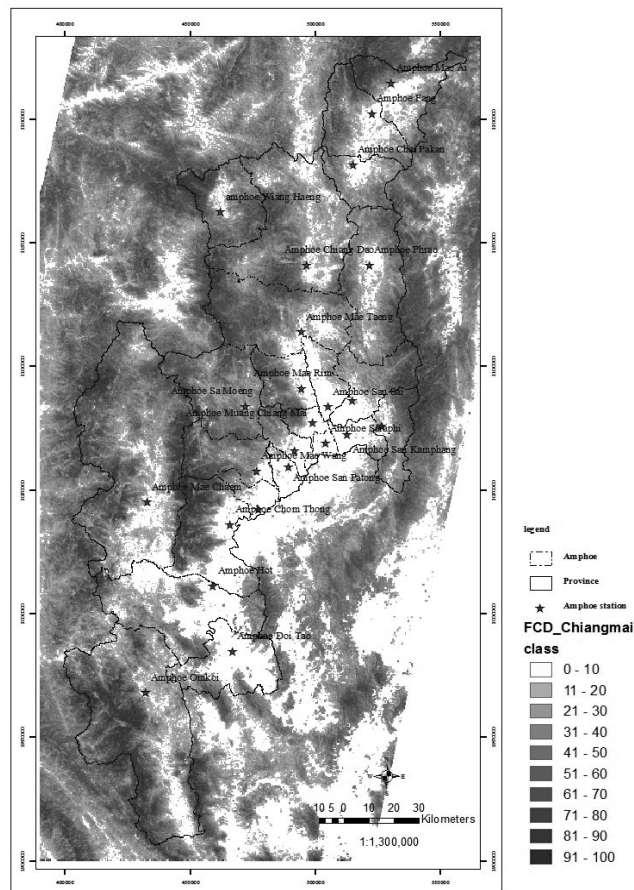
3. เมื่อนำผลการศึกษาที่ได้มาเปรียบเทียบความสัมพันธ์ระหว่างความหนาแน่นเรือนยอดของป่าไม้จากการคำนวณภาพถ่ายจากดาวเทียม กับภาพถ่ายด้วยกล้องเลนส์ตาปลา โดยดำเนินการในภาพรวมทุกประเภทป่าและแยกตามประเภทของป่าพบว่าประเภทป่าที่มีความสัมพันธ์ที่ดีที่สุด คือ ป่าเบญจพรรณ และที่มีค่าความสัมพันธ์น้อยที่สุดคือ ป่าเต็งรัง ทั้งนี้ เนื่องจากการศึกษาในช่วงฤดูแล้ง ต้นไม้ในป่าเต็งรังมีการผลัดใบเกือบทั้งหมด ดังนั้น ทำให้ค่าการสะท้อนแสงของภาพถ่ายจากดาวเทียมในป่าเต็งรัง ได้รับผลกระทบจากพื้นที่ที่เปลือย และให้ค่าความหนาแน่นเรือนยอดที่ได้จากภาพถ่ายด้วยกล้องเลนส์ตาปลา กรณีของป่าเบญจพรรณชนิดเดียว มีค่า  $R^2$  สูงกว่าการคำนวณรวมกันของทุกประเภทป่า ซึ่งสอดคล้องกับ Hadi *et al.* (2004) ที่พบว่า การตรวจสอบความหนาแน่นเรือนยอดป่าไม้ด้วย FCD Mapper สามารถดำเนินการได้ดีในป่าที่มีลักษณะโครงสร้างเหมือนกัน (homogeneous forest)

### ชั้นความหนาแน่นเรือนยอดในพื้นที่จังหวัดเชียงใหม่

ผลการประเมินความหนาแน่นเรือนยอดของป่าไม้ในพื้นที่ป่าจังหวัดเชียงใหม่ แยกตามความหนาแน่นของป่าไม้ในแต่ละชั้นความหนาแน่น ที่คำนวณเนื้อที่เป็นตารางกิโลเมตร และไร่ แสดงไว้ใน Table 2 และการกระจายของชั้นความหนาแน่นของเรือนยอดป่าไม้ แสดงไว้ใน Figure 10 โดยพบว่า จังหวัดเชียงใหม่ มีความหนาแน่นการปกคลุมเรือนยอดของป่าไม้ชั้นที่มีพื้นที่มากที่สุด คือ ร้อยละ 0-10 ครอบคลุมพื้นที่มากที่สุด ร้อยละ 18.35 แสดงว่าเป็นที่โล่ง ไม่มีสภาพเป็นป่า เช่น ที่อยู่อาศัยโดยเฉพาะบริเวณโดยรอบที่ทำการอำเภอ ที่เกษตรกรรม และบริเวณที่เป็นป่าเต็งรังช่วงผลัดใบ และชั้นที่มีพื้นที่น้อยที่สุดคือ ร้อยละ 91-100 ครอบคลุมพื้นที่น้อยที่สุด ร้อยละ 0.46 แสดงว่าเป็นที่มีสภาพเป็นป่าโดยเฉพาะบริเวณป่าดงดิบ

**Table 2** Forest canopy percentage in each density class in Chiang Mai province.

Forest canopy density class (%)	area			Remark
	km <sup>2</sup>	rai	%	
0 - 10	3,689.64	2,305,421.61	18.35	maximum
11 - 20	1,178.40	736,500.00	5.86	
21 - 30	2,002.71	1,251,695.00	9.96	
31 - 40	2,675.93	1,672,458.00	13.31	
41 - 50	3,028.84	1,893,025.00	15.06	
51 - 60	2,831.51	1,769,691.00	14.08	
61 - 70	2,290.64	1,431,650.00	11.39	
71 - 80	1,550.07	968,793.80	7.71	
81 - 90	767.28	479,546.90	3.82	
91 - 100	93.01	58,129.69	0.46	minimum
<b>Total</b>	<b>20,107.06</b>	<b>12,566,911.00</b>	<b>100.00</b>	



**Figure 10** Forest canopy density map in Chiang Mai province.

## สรุป

จากผลการศึกษการใช้ข้อมูลภาพถ่ายจากดาวเทียมวิเคราะห์หาความหนาแน่นเรือนยอดของป่าไม้ จังหวัดเชียงใหม่ พบว่า

1. ข้อมูลภาพถ่ายจากดาวเทียมสามารถประยุกต์สร้างเป็นแผนที่ความหนาแน่นเรือนยอดของป่าไม้ได้อย่างมีประสิทธิภาพ

2. จากผลการทดสอบทางสถิติ การเปรียบเทียบความถูกต้อง ของข้อมูลภาพถ่ายจากดาวเทียมกับข้อมูลภาคสนาม พบว่ามีความสัมพันธ์อย่างมีนัยสำคัญทางสถิติ ที่ระดับความเชื่อมั่นร้อยละ 95 โดยมีค่าสัมประสิทธิ์ความสัมพันธ์ ( $R^2$ ) เท่ากับ 0.81

3. พื้นที่ป่าจังหวัดเชียงใหม่ มีความหนาแน่นการปกคลุมเรือนยอดของป่าไม้ชั้นที่มีพื้นที่มากที่สุดคือ ร้อยละ 0-10, 41-50 และ 51-60 ตามลำดับ และชั้นที่มีพื้นที่น้อยที่สุดคือ ร้อยละ 91-100 ครอบคลุมพื้นที่มากที่สุด ร้อยละ 18.35, 15.06 และ 14.08 ตามลำดับ พื้นที่น้อยที่สุด ร้อยละ 0.46

## เอกสารและสิ่งอ้างอิง

กรมป่าไม้. 2551. เนื้อที่ป่าไม้ แยกรายจังหวัด พ.ศ. 2551. แหล่งที่มา: <http://web2.forest.go.th/stat/stat51/stat2551.html>, 29 กรกฎาคม 2554.

เทอด สุปรีชากร. 2525. วนศาสตร์เบื้องต้น. อมรินทร์การพิมพ์, กรุงเทพฯ.

อนุสรณ์ รังสิตพานิช. 2545. การประมาณค่าความหนาแน่นเรือนยอดของหมู่ไม้โดยใช้ข้อมูลภาพถ่ายจากดาวเทียมบริเวณป่าสาธิตงาวอำเภอท่าว จังหวัดลำปาง, น.170-176. ใน รายงานการประชุมวิชาการป่าไม้ประจำปี 2545. กรมป่าไม้, กรุงเทพฯ.

Azizia, Z., A. Najafia and H. Sohrabia. 2008. **Canopy Density Estimating, Using Satellite Images**. The International Archives of the Photogrammetry Remote Sensing and Spatial Information Sciences, Beijing.

Hadi, F., K. Wikantika and I. Sumarto. 2004. **Implementation of Forest Canopy Density Model to Monitor Forest Fragmentation in Mt. Simpang and Mt. Tilu Nature Reserves, West Java, Indonesia**. Jakarta.

Rich, P.M. 1989. **A Manual for Analysis of Hemispherical Canopy Photography**. Los Alamos National Laboratory, Los Alamos, NM, Rep.LA-11733-M.

Rikimaru, A. 1996. LANDSAT TM data processing guide for forest canopy density mapping and monitoring model, pp.1-8. *In ITTO Workshop on Utilization of Remote Sensing in Site Assessment and Planning for Rehabilitation of Logged-over Forest*. July 30-August 1, 1996. Bangkok.

\_\_\_\_\_, P.S. Roy and S. Miyatake. 2002. Tropical forest cover density mapping. **Trop. Ecology**. 43: 39-47.

Rouse, J.W., R.H. Haas, J.A. Schell. and D.W. Deering. 1973. Monitoring vegetation systems in the great plains with ERTS. **Third ERTS Symposium NASA 1**: 309-317.

Shimwell, D.W. 1971. **Description and Classification of Vegetation**. Sidgwick and Jackson, London.

Tiwari, S. and S. Saran. 2006. Forest canopy density mapping of Doon valley using biophysical response modeling on MODIS Data. pp.1-42. *In 9<sup>th</sup> Annual International Conference "Map India"*. w.e.f. 30<sup>th</sup> Jan. to 1<sup>st</sup> Feb. 2006, New Delhi.